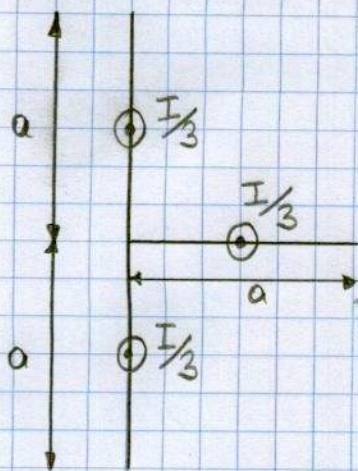


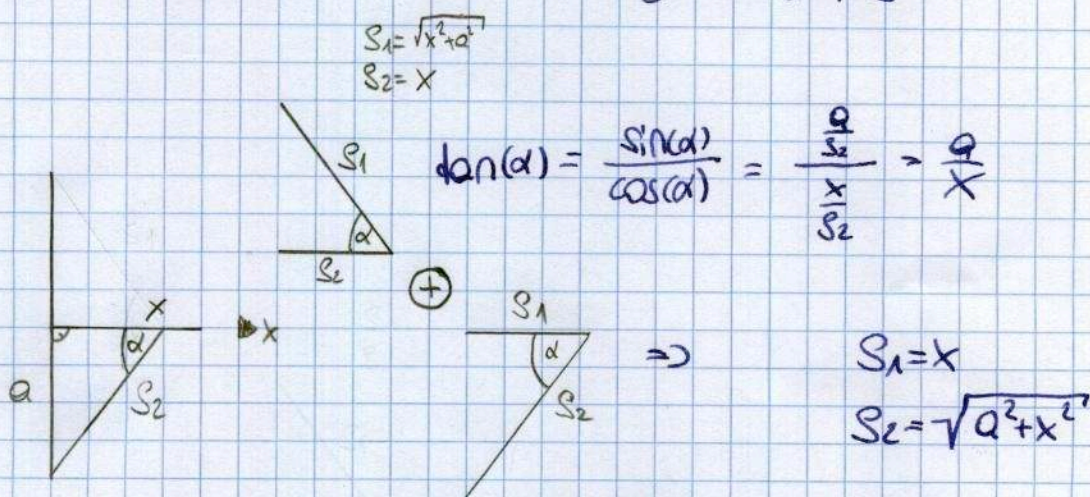
# Beispiel.



$$B(P) = \frac{\mu_0 K}{2\pi} \left\{ \ln\left(\frac{S_1}{S_2}\right) \vec{e}_x + a \vec{e}_y \right\}$$

Hinweis

$$\int \begin{Bmatrix} \arctan(u) \\ \operatorname{arccot}(u) \end{Bmatrix} du = u \begin{Bmatrix} \arctan(u) \\ \operatorname{arccot}(u) \end{Bmatrix} \mp \ln \sqrt{1+u^2} + \text{const.}$$



$$\begin{aligned}
 \vec{F} &= \int_0^a \vec{K} \times \vec{B} \, dx = K \frac{\mu_0 K}{2\pi} \int_0^a \vec{e}_z \times \left( \ln\left(\frac{S_1}{S_2}\right) \vec{e}_x + a \vec{e}_y \right) dx \\
 &= \frac{\mu_0 K^2}{2\pi} \int_0^a \ln\left(\frac{x}{\sqrt{a^2 + x^2}}\right) \vec{e}_z \times \vec{e}_x + \arctan\left(\frac{a}{x}\right) \vec{e}_z \times \vec{e}_y \, dx \\
 &= \frac{\mu_0 K^2}{2\pi} \int_0^a \ln\left(\frac{x}{\sqrt{a^2 + x^2}}\right) \vec{e}_y - \arctan\left(\frac{a}{x}\right) \vec{e}_x \, dx \\
 \vec{F}_1 + \vec{F}_2 &= \frac{\mu_0 K^2}{2\pi} \int_0^a \ln\left(\frac{x}{\sqrt{a^2 + x^2}}\right) + \ln\left(\frac{\sqrt{a^2 + x^2}}{x}\right) \vec{e}_y - 2 \arctan\left(\frac{a}{x}\right) \vec{e}_x \, dx \\
 &= \frac{\mu_0 K^2}{2\pi} \int_0^a \underbrace{\ln(1)}_{=0} \vec{e}_y - 2 \arctan\left(\frac{a}{x}\right) \vec{e}_x \, dx =
 \end{aligned}$$



$$= \frac{\mu_0 k^2}{2\pi} \left[ a(\ln(a) + \ln(\frac{1}{a})) \vec{e}_y - \frac{a(2 \cdot \ln(2) + \pi)}{2} \vec{e}_x \right] =$$

$$= - \frac{\mu_0 a k^2}{2\pi} \frac{2 \ln(2) + \pi}{2} \vec{e}_x$$



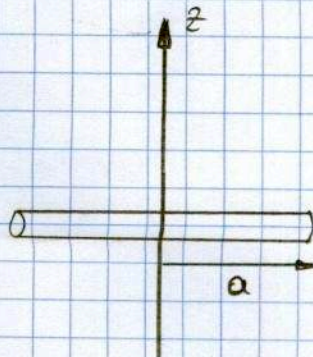
# Beispiel.

$$\vec{A} = \frac{\mu_0 I}{2\pi} \int_0^\pi f\left(\frac{\rho}{a}\right) \vec{e}_\alpha = A_\alpha \vec{e}_\alpha$$

$$f(\xi) = - \int_0^\pi \frac{\cos(\alpha) d\alpha}{\sqrt{1 + \xi^2 + 2\xi \cos(\alpha)}}$$

$$f(\xi) = \begin{cases} \frac{\pi}{2} \xi & 0 \leq \xi \leq 1 \\ \ln\left(\frac{8}{1-\xi}\right) - 2 & 1 \leq \xi < \infty \end{cases}$$

Kreiszyylinderkoordinaten.



~~$\xi \gg 1$~~

$$\vec{B} = \vec{\nabla} \times \vec{A} = -\vec{e}_\xi \frac{\partial}{\partial z} A_\alpha + \vec{e}_z \frac{1}{\xi} \frac{\partial}{\partial \xi} (\xi A_\alpha)$$

~~unabh. von z~~

$$\vec{B} = \frac{1}{\xi} \frac{\partial}{\partial \xi} (\xi A_\alpha) \vec{e}_z$$

$$\frac{\partial}{\partial \xi} (\xi A_\alpha) = \frac{\partial}{\partial \xi} \left( \frac{\mu_0 I}{2\pi} \cdot \xi \begin{cases} \frac{\pi}{2} \frac{\rho}{a} \\ \ln\left(\frac{8}{1-\frac{\rho}{a}}\right) - 2 \end{cases} \right) =$$

$$= \frac{\mu_0 I}{2\pi} \frac{\partial}{\partial \xi} \left\{ \begin{cases} \frac{\pi}{2} \frac{\rho^2}{a} \\ \xi \ln\left(\frac{8}{1-\frac{\rho}{a}}\right) - 2\xi \end{cases} \right\} =$$

$$= \frac{\mu_0 I}{2\pi} \left\{ \begin{cases} \frac{2\xi\pi}{a} \\ \ln\left(\frac{8}{1-\frac{\rho}{a}}\right) - \frac{a}{r-a} - 1 - 2 \end{cases} \right\} = \frac{\mu_0 I}{2\pi} \left\{ \begin{cases} \frac{2\xi\pi}{a} \\ \ln\left(\frac{8}{1-\frac{\rho}{a}}\right) - \frac{a}{r-a} - 3 \end{cases} \right\}$$

$$\Phi = L \cdot I$$

$$A = Q^2 \cdot \pi$$

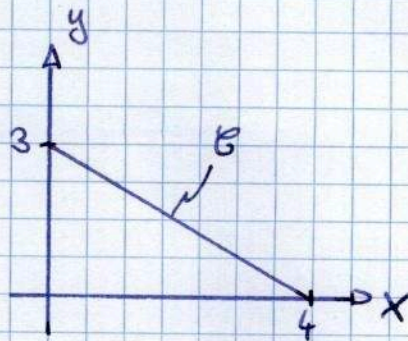
$$\Phi =$$



Beispiel.

$$\vec{h}(\vec{r}) = 2x \vec{e}_x + y^2 \vec{e}_y$$

$$\int_{\mathcal{C}} \vec{h}(\vec{r}) \cdot d\vec{r}$$



$$y = -\frac{3}{4}x + 3$$

$$\vec{r} = x \vec{e}_x + y \vec{e}_y \Big|_{\mathcal{C}} = x \vec{e}_x + \left(-\frac{3}{4}x + 3\right) \vec{e}_y$$

$$\frac{d\vec{r}}{dx} = \vec{e}_x - \frac{3}{4} \vec{e}_y$$

$$d\vec{r} = \left(\vec{e}_x - \frac{3}{4} \vec{e}_y\right) dx$$

$$\int_0^4 \left(2x \vec{e}_x + \underbrace{y^2}_{\text{einsetzen}} \vec{e}_y\right) \cdot \left(\vec{e}_x - \frac{3}{4} \vec{e}_y\right) dx =$$

$$= \int_0^4 \left(2x \vec{e}_x + \left(-\frac{3}{4}x + 3\right)^2 \vec{e}_y\right) \cdot \left(\vec{e}_x - \frac{3}{4} \vec{e}_y\right) dx =$$

$$= \int_0^4 \left(2x - \frac{3}{4} \left(-\frac{3}{4}x + 3\right)^2\right) dx = 17$$



$$\vec{D} = \epsilon_0 \vec{E} + \vec{P}$$

$$\vec{H} = \frac{1}{\mu_0} \vec{B} - \vec{M}$$

(34)

$$\vec{D} = \epsilon \vec{E} \quad \epsilon = \epsilon_r \epsilon_0$$

$$\vec{B} = \mu \vec{H}$$

$$\epsilon \vec{E} - \epsilon_0 \vec{E} = \vec{P}$$

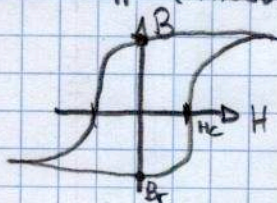
$$\vec{H} = \mu_r \vec{H} - \vec{M}$$

$$\vec{P} = \epsilon_0 (\underbrace{\epsilon_r - 1}_\chi) \vec{E}$$

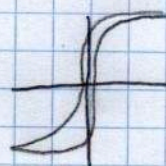
$$\vec{M} = \underbrace{(\mu_r - 1)}_\kappa \vec{H}$$

Hartmagnetische Werkstoffe ( $H_{koers} \gg$ ) - starre Magnetisierung:  $\vec{B} = \mu_0 \vec{H} + \vec{B}_r$

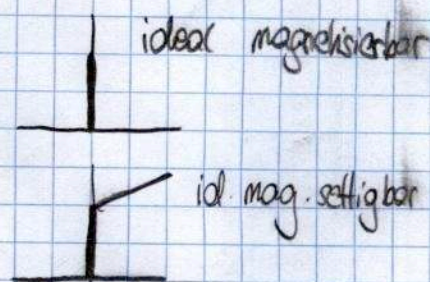
$$\vec{B}_r = \mu_0 \vec{H}(\vec{r})$$



Weichmagnetisch ( $H_{koersiv} \ll$ )



$$\int \text{Hysteresis } dA = \text{Energie}$$



$$\vec{H} = \vec{H} - \vec{v} \times \vec{D}$$

$$\vec{B} = \vec{B}'$$

$$\vec{E} = \vec{E} + \vec{v} \times \vec{B}$$

$$\vec{P} = \vec{P}'$$

$$\vec{J} = \vec{J} - \vec{v} \times \vec{S}$$

$$\vec{D} = \vec{D}$$

$$\vec{M} = \vec{M} + \vec{v} \times \vec{P}$$

$$\vec{S} = \vec{S}'$$

(nichtrel. Kinematik)  
"Galileo-Transformation"

$$\partial_t^c \vec{F} = \partial_t \vec{F} + \vec{v} \cdot \nabla \vec{F} + \vec{\nabla} \times (\vec{F} \times \vec{v}) \quad \dots \text{mitgeschleppte Zeitableitung}$$

$$T_R = \frac{\epsilon}{\sigma} \quad \dots \text{Relaxationszeitkonst.}$$

$$Re = \frac{\epsilon}{\sigma} \frac{v_0}{L} = T_R \frac{v_0}{L} \quad \dots \text{el. Reynoldszahl}$$

$$\dot{W}(r) + Q(\partial r) = R(r)$$

(=0) vollst. abgerh. Systeme

(Energie)

$$\dot{\vec{G}}(r) + \vec{P}(\partial r) = \vec{F}(r)$$

(=0) Energie- & Impulserhaltung

(Impuls)

Änderungsrate des Inhalts

Fluß

Produktionsraten

$$\dot{W}(r) = \int_V \dot{w} dv$$

$$\vec{Q} = \int_A \vec{n} \cdot \vec{\dot{Q}} dA$$

$$\text{lokal: } \partial_t \dot{w} + \vec{\nabla} \cdot \vec{\dot{Q}} = \dot{f}$$

$$\partial_t \rightarrow -v_n [\cdot]; \quad \vec{\nabla} \cdot \rightarrow \vec{n} \cdot [\cdot]$$

$$R(r) = \int_{V'} r dv + \int_{S'} r^s dA$$

$$\vec{F}(r) = \int_{V'} \vec{f} dv + \int_{S'} \vec{f}^s dA$$



Aufspaltung in elektromagnetisches und materielles Teilsystem.

$$w^e = \frac{\epsilon_0}{2} E^2 + \frac{1}{2\mu_0} B^2$$

$$\vec{g}^e = \epsilon_0 \vec{E} \times \vec{B}$$

$$\vec{Q}^e = \frac{1}{\mu_0} \vec{E} \times \vec{B} \triangleq \vec{E} \times \vec{H} = \vec{S}$$

$$\rho^e = w^e \delta - \epsilon_0 \vec{E} \otimes \vec{E} - \frac{1}{\mu_0} \vec{B} \otimes \vec{B}$$

Dichte Funktion:  $d\tilde{w}(\vec{E}, \vec{B}) = \vec{D} \cdot d\vec{E} - \vec{H} \cdot d\vec{B}$ ;  $\tilde{w}(\vec{E}, \vec{B}) = \frac{\epsilon}{2} E^2 - \frac{1}{2\mu} B^2 (w^e)$

Poynting:  $\vec{\nabla} \cdot \vec{S} = \vec{\nabla} \cdot (\vec{E} \times \vec{H}) = \underbrace{\vec{H} \cdot (\vec{\nabla} \times \vec{E})}_{-\partial_t \vec{B}} - \underbrace{\vec{E} \cdot (\vec{\nabla} \times \vec{H})}_{\vec{J} + \partial_t \vec{D}} =$

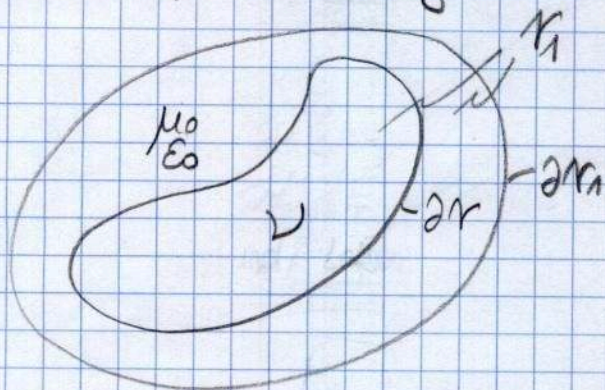
$$= -\vec{H} \cdot \partial_t \vec{B} - \vec{E} \cdot \vec{J} - \vec{E} \cdot \partial_t \vec{D}$$

$$\rightarrow \underbrace{-\vec{E} \cdot \vec{J}}_r = \underbrace{\vec{\nabla} \cdot (\vec{E} \times \vec{H})}_{=\vec{Q}} + \underbrace{\vec{H} \cdot \partial_t \vec{B} + \vec{E} \cdot \partial_t \vec{D}}_{\substack{\text{mit Material} \rightarrow \partial_t w \\ \text{deswegen NUR VORSTUFE zum} \\ \text{Energiesatz}}}$$

Leistungsdichte-Bilanz

$$\int_V \dots dV \Rightarrow - \int_V \vec{E} \cdot \vec{J} dV = \underbrace{\int_V \vec{\nabla} \cdot (\vec{E} \times \vec{H}) dV}_{\text{Gauß} \Rightarrow \int_{\partial V} \vec{n} \cdot (\vec{E} \times \vec{H}) dV} + \int_V \vec{H} \cdot \partial_t \vec{B} + \vec{E} \cdot \partial_t \vec{D} dV$$

Resultierende Kräfte und Leistungen.



vol. System: Energie Erhaltungsgl.

$$\dot{w}(V) = -Q(\partial V)$$

$$Q = \int_{\partial V} \vec{n} \cdot \vec{Q} dA$$

$$\vec{Q} = \vec{S} = \vec{E} \times \vec{H}$$

zugeführte Leistung

zusätzlicher Energieaustausch:  $\dot{w}(V) + Q^{\text{max}}(\partial V) = - \int_{\partial V} \vec{n} \cdot \vec{S} dA$

Maxwell-Spannungsdichte

Impuls Erhaltungsgroße:

$$\vec{G}(V) = -\vec{P}(\partial V)$$

$$\vec{G}(V) = \frac{d}{dt} \int_V \vec{S}_m \vec{v} dV = \vec{F}_R^e = - \int_{\partial V} \vec{n} \cdot \vec{p} dA$$

dom. el.  $\vec{F}_R^e = \int_{\partial V} \epsilon_0 (\vec{n} \cdot \vec{E} \vec{E} - \frac{1}{2} E^2 \vec{n}) dA$

dom. mag.  $\vec{F}_R^e = \int_{\partial V} \frac{1}{\mu_0} (\vec{n} \cdot \vec{B} \vec{B} - \frac{1}{2} B^2 \vec{n}) dA$

Maxwell-Spannungsvektoren

Drehmoment jeweils  $\vec{T}_R^e = \int_{\partial V} \vec{r} \times (\text{MAXSP.}) dA$



$$\nabla^2 G(\vec{r}, \vec{r}') = -\delta(\vec{r} - \vec{r}')$$

$$G(\vec{r}, \vec{r}') = G(\vec{r}', \vec{r}) = \frac{1}{4\pi|\vec{r} - \vec{r}'|} + g(\vec{r}, \vec{r}')$$

G... Grundlösung des Laplace-Op.

Lösung d. Laplace-Gl.

$$\nabla^2 \varphi = -\frac{\rho}{\epsilon}$$

$$\nabla^2 G = -\delta \quad | \cdot \frac{Q}{\epsilon}$$

$\Rightarrow$  Laplace-Gl. d. Elektrostatik

$$\Rightarrow \frac{Q}{4\pi\epsilon|\vec{r} - \vec{r}'|} = \varphi$$

$$Q = \int_V \rho(\vec{r}) dV$$

$$\varphi_P = \frac{1}{4\pi\epsilon} \int_V \frac{\rho(\vec{r}')}{|\vec{r} - \vec{r}'|} dV'$$

Potentialtheorie (Darstellungssätze).

$$\vec{v} = \vec{\nabla} \phi - \vec{\nabla} u + \vec{\nabla} \times \vec{a}$$

Skalarpotential  $u$ , Vektorpotential  $\vec{a}$

Fundamentalsatz d. Vektoranalysis

Skalarfeld heißt harmonisch:  $\nabla^2 u = 0$  (2x stetig diff. bar, im Endlichen)

• im Unendlichen gleichmäßig gegen  $u_{\infty}$  konv.

Vektorfeld heißt harmonisch:  $\nabla \cdot \vec{v} = 0$   $\vec{\nabla} \times \vec{v} = \vec{0}$

• Unendlich: glm. gegen  $\vec{v}_{\infty}$  konv.

$\vec{v}$  harmonisch  $\Rightarrow$  Cauchy-Integralformel:  $\vec{v} = \vec{\nabla} \phi - \vec{\nabla} u + \vec{\nabla} \times \vec{a}$

$$u = \frac{1}{4\pi} \int_{\partial V} \frac{\vec{n} \cdot \vec{v}}{R} dA' \quad \vec{a} = -\frac{1}{4\pi} \int_{\partial V} \frac{\vec{n} \times \vec{v}}{R} dA'$$

Werte auf den Rändern: Cauchy-Daten.

$u$  harmonisch  $\Rightarrow$  Green-Integralformel:  $u = u_{\infty} + \frac{1}{4\pi} \int_{\partial V} \left[ \vec{n} \cdot \vec{v} u - u \vec{n} \cdot \vec{v} \right] dA'$

RWP der Elektrostatik.

Dirichlet-Problem: harmonisches  $\varphi$  mit Randdaten gesucht

ges.: harmonisches  $E$  mit vorgeg. Tangentialkomp.  $\vec{E}_t = \vec{n} \times (\vec{n} \times \vec{E})$  am Rand

skalares (klassisches) Dirichlet-Problem:  $\Delta \varphi = 0$  in  $V$   $\varphi = f$  auf  $\partial V$

$f$  analytisch  $\Rightarrow$  genau eine Lsg v.  $\varphi$

$\partial V$  nur durch äußere Fläche  $S_1$  - inneres Dirichlet-Prob. kein  $S_1$ , mindestens ein  $S_2$  - äußeres Dirichlet-Prob.

Neumann-Problem:  $\varphi$  harmonisch  $\partial n \varphi = -E_n$  am Rand;  $\vec{E}$  harm. mit  $E_n = \vec{n} \cdot \vec{E}$

skalar (klassisch) - II - :  $\varphi$  harmonisch  $\partial n \varphi = -E_n$  am Rand;  $E_n$  analytisch, Lsg eindeutig bis Integrationskonst.  $\int_{\partial V} E_n dA = 0$



Green-Identität  $\vec{F} = u \vec{\nabla} v$   $\vec{\nabla} \cdot$  und Gauß  $\Rightarrow$  erste  
vertauschen, subtrahieren  $\Rightarrow$  zweite.

Ebene Magnetfelder.  $\vec{A} = A \vec{e}_z$   $\vec{J} = J \vec{e}_z$

Quasi stationäre Felder. gut el. leitfähig; Induktionsgesetz wichtig  
Verschiebungsströme unbedeutend.

$$\vec{\nabla} \times \vec{E} = -\partial_t \vec{\nabla} \times \vec{A}$$

$$\vec{\nabla} \times (\vec{E} + \partial_t \vec{A}) = \vec{0} \Rightarrow \vec{E} + \partial_t \vec{A} = -\vec{\nabla} \phi$$

Bullard - Gleichung  
(Diffusionsproblem)

$$\vec{\nabla} \times \vec{H} = \vec{J}$$

$$\vec{J} = \gamma \vec{E} = \gamma (\vec{E} + \vec{\nabla} \times \vec{B})$$

$$\vec{E} = \frac{1}{\gamma} \vec{J} - \vec{\nabla} \times \vec{B}$$

$$\vec{\nabla} \times \vec{E} = \vec{\nabla} \times \left( \frac{1}{\gamma} \vec{J} - \vec{\nabla} \times \vec{B} \right) = -\partial_t \vec{B}$$

$$\frac{1}{\gamma} \vec{\nabla} \times \vec{J} - \vec{\nabla} \times (\vec{\nabla} \times \vec{B}) = -\partial_t \vec{B}$$

$$\vec{J} = \frac{1}{\mu} \vec{\nabla} \times \vec{B}$$

$$\frac{1}{\gamma \mu} \underbrace{\vec{\nabla} \times (\vec{\nabla} \times \vec{B})}_{\vec{\nabla}(\vec{\nabla} \cdot \vec{B}) - \nabla^2 \vec{B}} - \vec{\nabla} \times (\vec{\nabla} \times \vec{B}) = -\partial_t \vec{B}$$

$$-\frac{1}{\gamma \mu} \nabla^2 \vec{B} - \vec{\nabla} \times (\vec{\nabla} \times \vec{B}) = -\partial_t \vec{B}$$

$$\left\| \frac{1}{\gamma \mu} \nabla^2 \vec{B} = \vec{\nabla} \times (\vec{B} \times \vec{\nabla}) + \partial_t \vec{B} = \partial_t^c \vec{B} \right.$$

$$\vec{\nabla} = \vec{0} : \nabla^2 \vec{B} = \gamma \mu \partial_t \vec{B}$$

$$\partial_t \vec{B} = 0 : \frac{1}{\gamma \mu} \nabla^2 \vec{B} = \vec{\nabla} \times (\vec{B} \times \vec{\nabla})$$

Eindringen in Halbraum:  $\partial_x^2 \vec{B} = \gamma \mu \partial_t \vec{B}$

Sprung:  $B \sim \text{erfc}(x)$   $J \sim (\text{Gauß-Glocke}) e^{-x^2}$

sin-förmig:  $\delta = \sqrt{\frac{2}{\mu \gamma \omega}}$   $B = \text{Re} \{ B_0 e^{i(\omega t - kx)} \}$



d'Alembert-Operator

$$\left(\nabla^2 - \frac{1}{c^2} \partial_t^2\right) u = -f$$

$$\left(\nabla^2 - \frac{1}{c^2} \partial_t^2\right) G(\vec{r}, \vec{r}', t, t') = -\delta(\vec{r} - \vec{r}') \delta(t - t')$$

Retardierung

$G$  heißt Grundlösung des d'Alembert-Operators

$$G(\vec{r}, \vec{r}', t, t') = \frac{1}{4\pi|\vec{r} - \vec{r}'|} \delta(t - t' - |\vec{r} - \vec{r}'|/c)$$

Beschreibung der Ausbreitung der Welle von sing. Ereignis in Raumzeit

$(\vec{r}, t)$  die  $G(\vec{r}, \vec{r}', t, t') \neq 0$  für feste  $(\vec{r}', t')$  liefern

erfüllen "Kegelbedingung"  $c^2(t - t')^2 - |\vec{r} - \vec{r}'|^2 = 0, t \geq t'$

Beschreibt  $(\vec{r}, t)$  die Welle erreichen kann.

$$\psi(\vec{r}, t) = \iint G(\vec{r}, \vec{r}', t, t') f(\vec{r}', t') dV' dt'$$

ideale verlustfreie Doppelleitung

$$\partial_z U + \partial_t \Phi' = 0$$

Induktionsgesetz

$$\partial_z I + \partial_t Q' = 0$$

Satz von der Ladungserhaltung

$$Q' = C' U$$

$$\Phi' = L' I$$

$$L' C' = \mu \epsilon = \frac{1}{c^2}$$